



Środowiskowa analiza optymalizacyjno-porównawcza

Tytuł:...

Siemiatycze, 2017-01-05

Spis treści:

1. Dane budynku
2. Zestawienie rocznego zapotrzebowania na energię użytkową
3. Dostępne nośniki energii
4. Warunki przyłączenia do sieci zewnętrznych
5. Opis systemów zapotrzebowania w energię do analizy porównawczej
6. Charakterystyka źródeł energii systemu ogrzewania i wentylacji
7. Charakterystyka źródeł energii systemu przygotowania ciepłej wody
8. Charakterystyka źródeł energii systemu oświetlenia wbudowanego
9. Wykresy porównawcze zużycia nośników energii
10. Wskaźniki emisji zanieczyszczeń poszczególnych systemów i nośników energii
11. Emisja zanieczyszczeń poszczególnych systemów w budynku
12. Obliczenia optymalizacyjno-porównawcze emisji zanieczyszczeń (aspekt środowiskowy)
13. Wyniki analizy porównawczej i wybór systemu zapotrzebowania na energię

1. Dane budynku

1.1. Dane adresowe:

Nazwa budynku: Świetlica wiejska

Adres budynku: Romanówka,

Nazwa inwestora: Gmina Siemiatycze

Adres inwestora: Siemiatycze,

1.2. Dane geometryczne:

Przeznaczenie budynku: Użyteczności publicznej

Strefa klimatyczna: IV

Stacja meteorologiczna: Białystok

Powierzchnia zabudowy $A_z=253,10 \text{ m}^2$

Powierzchnia o regulowanej temperaturze $A_r=203,75 \text{ m}^2$

Powierzchnia netto $A=203,75 \text{ m}^2$

Kubatura po obrysie zewnętrznym $V_e=719,31 \text{ m}^3$

Kubatura ogrzewana budynku $V=612,00 \text{ m}^3$

Liczba kondygnacji: 1

2. Zestawienie rocznego zapotrzebowania na energię użytkową

2.1. Zestawienie rocznego zapotrzebowania na energię użytkową dla systemu ogrzewania i wentylacji

2.1.1. System projektowany

Lp.	Rodzaj paliwa	Udział %	$Q_{H,nd}$ [kWh/rok]
1	Sieć elektroenergetyczna systemowa - Energia elektryczna	100,0	7148,7

2.1.2. System alternatywny

Lp.	Rodzaj paliwa	Udział %	$Q_{H,nd}$ [kWh/rok]
1	Miejskowe wytwarzanie energii w budynku - Energia słoneczna	60,0	4289,2
2	Sieć elektroenergetyczna systemowa - Energia elektryczna	40,0	2859,5

2.2. Zestawienie rocznego zapotrzebowania na energię użytkową dla systemu przygotowania ciepłej wody

2.2.1. System projektowany

Lp.	Rodzaj paliwa	Udział %	$Q_{W,nd}$ [kWh/rok]
1	Sieć elektroenergetyczna systemowa - Energia elektryczna	100,0	1822,9

2.2.2. System alternatywny

Lp.	Rodzaj paliwa	Udział %	$Q_{W,nd}$ [kWh/rok]
1	Miejskowe wytwarzanie energii w budynku - Energia słoneczna	100,0	1822,9

2.3. Zestawienie rocznego zapotrzebowania na energię użytkową dla systemu oświetlenia wbudowanego

2.3.1. System projektowany

Lp.	Rodzaj paliwa	Udział %	$Q_{L,nd}$ [kWh/rok]
1	Sieć elektroenergetyczna systemowa - Energia elektryczna	100,0	189,0

3. Dostępne nośniki energii

energia elektryczna

4. Warunki przyłączenia do sieci zewnętrznych

5. Opis systemów zapotrzebowania w energię do analizy porównawczej

Lp.	Nazwa systemu	Wariant projektowany
1	Opis ogólny	źródło alternatywne - system solarny
2	System ogrzewania	TAK, Źródło o udziale procentowym 60,00 % na paliwo Miejskowe wytwarzanie energii w budynku - Energia słoneczna, typu Elektryczne grzejniki bezpośrednie: konwektorowe, płaszczyznowe, promiennikowe i podłogowe kablowe o sprawności wytwarzania $\eta_{H,g}=0,99$, Elektryczne ogrzewanie podłogowe z regulatorem proporcjonalno-całkującym PI o sprawności regulacji $\eta_{H,e}=0,94$, Źródło ciepła w pomieszczeniu (ogrzewanie elektryczne, piec kaflowy, kominek) o sprawności przesytu $\eta_{H,d}=1,00$, System ogrzewania bez zasobnika ciepła o sprawności akumulacji $\eta_{H,s}=1,00$, Źródło o udziale procentowym 40,00 % na paliwo Sieć elektroenergetyczna systemowa - Energia elektryczna, typu Podgrzewacze

		elektryczne przepływowe o sprawności wytwarzania $\eta_{H,g}=0,99$, Elektryczne grzejniki bezpośrednie: konwektorowe, płaszczyznowe i promiennikowe z regulatorem proporcjonalno-całkującym PI o sprawności regulacji $\eta_{H,e}=0,94$, Źródło ciepła w pomieszczeniu (ogrzewanie elektryczne, piec kaflowy, kominek) o sprawności przesyłu $\eta_{H,d}=1,00$, System ogrzewania bez zasobnika ciepła o sprawności akumulacji $\eta_{H,s}=1,00$.
3	System wentylacji	TAK; wentylacja grawitacyjna o strumieniach powietrza $V_{ve1}=178,56 \text{ m}^3/\text{h}$, $V_{ve2}=67,50 \text{ m}^3/\text{h}$.
4	System ciepłej wody	TAK, Źródło o udziale procentowym 100,00 % na paliwo Miejskowe wytwarzanie energii w budynku - Energia słoneczna, typu Elektryczny podgrzewacz akumulacyjny (z zasobnikiem ciepłej wody użytkowej bez strat) o sprawności wytwarzania $\eta_{W,g}=0,96$, Centralne podgrzanie wody – system bez obiegów cyrkulacyjnych o sprawności przesyłu $\eta_{W,d}=0,60$, Zasobnik ciepłej wody użytkowej wyprodukowany po 2005 r. o sprawności akumulacji $\eta_{W,s}=0,85$.
5	System oświetlenia wbudowanego	Tak

6. Charakterystyka źródeł energii systemu ogrzewania i wentylacji

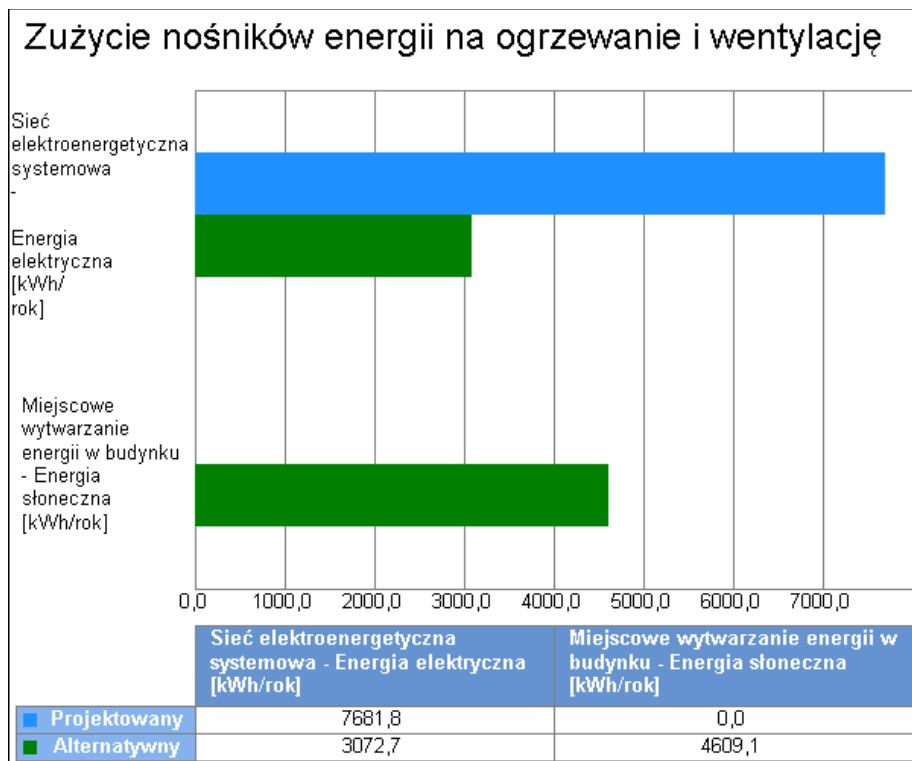
6.1. Budynek projektowany

Rodzaj paliwa	Udział %	$\eta_{H,tot}$	H_u	Jedn.	$Q_{K,H}$ [kWh/rok]	Zużycie paliwa B	Jedn.
Sieć elektroenergetyczna systemowa - Energia elektryczna	100,0	0,93	1,00	kWh/kWh	7681,8	7681,8	kWh/rok

6.2. Budynek z alternatywnymi źródłami

Rodzaj paliwa	Udział %	$\eta_{H,tot}$	H_u	Jedn.	$Q_{K,H}$ [kWh/rok]	Zużycie paliwa B	Jedn.
Miejskowe wytwarzanie energii w budynku - Energia słoneczna	60,0	0,93	1,00	kWh/kWh	4609,1	4609,1	kWh/rok
Sieć elektroenergetyczna systemowa - Energia elektryczna	40,0	0,93	1,00	kWh/kWh	3072,7	3072,7	kWh/rok

6.3. Porównanie zużycia nośników energii dla budynku projektowanego i źródła alternatywnego



Wykres porównawczy zużycia nośników energii dla systemu ogrzewania i wentylacji

7. Charakterystyka źródeł energii systemu przygotowania ciepłej wody

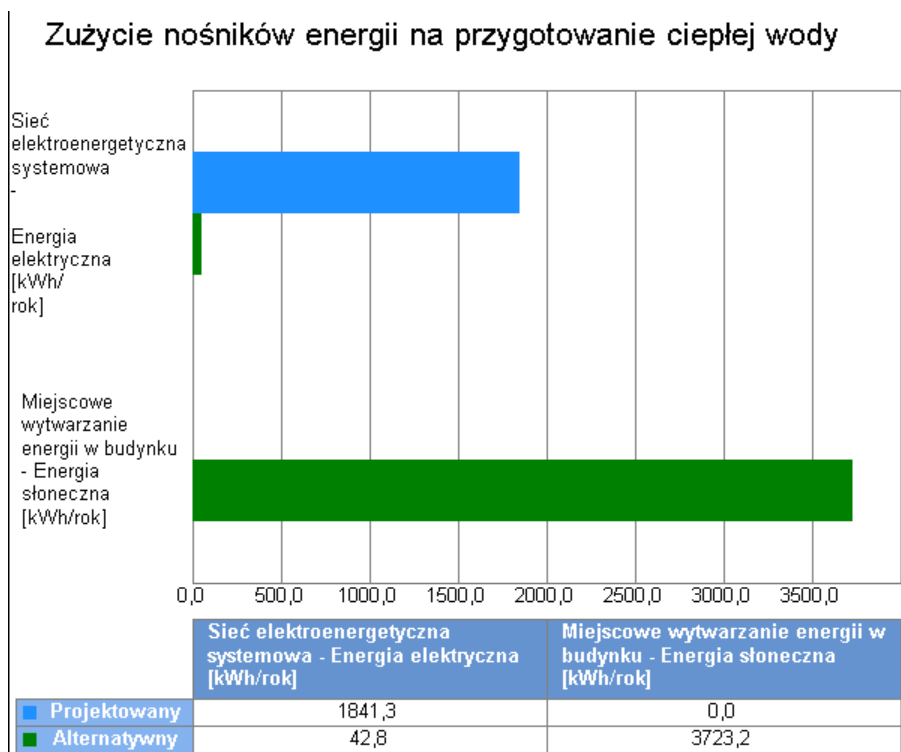
7.1. Budynek projektowany

Rodzaj paliwa	Udział %	$\eta_{w,tot}$	H_u	Jedn.	$Q_{k,w}$ [kWh/rok]	Zużycie paliwa B	Jedn.
Sieć elektroenergetyczna systemowa - Energia elektryczna	100,0	0,99	1,00	kWh/kWh	1841,3	1841,3	kWh/rok

7.2. Budynek z alternatywnymi źródłami

Rodzaj paliwa	Udział %	$\eta_{w,tot}$	H_u	Jedn.	$Q_{k,w}$ [kWh/rok]	Zużycie paliwa B	Jedn.
Miejskowe wytwarzanie energii w budynku - Energia słoneczna	100,0	0,49	1,00	kWh/kWh	3723,2	3723,2	kWh/rok
Sieć elektroenergetyczna systemowa - Energia elektryczna	-	-	1,00	kWh/kWh	42,8	42,8	kWh/rok

7.3. Porównanie zużycia nośników energii dla budynku projektowanego i źródła alternatywnego



Wykres porównawczy zużycia nośników energii dla systemu przygotowania ciepłej wody

8. Charakterystyka źródeł oświetlenia systemu oświetlenia wbudowanego

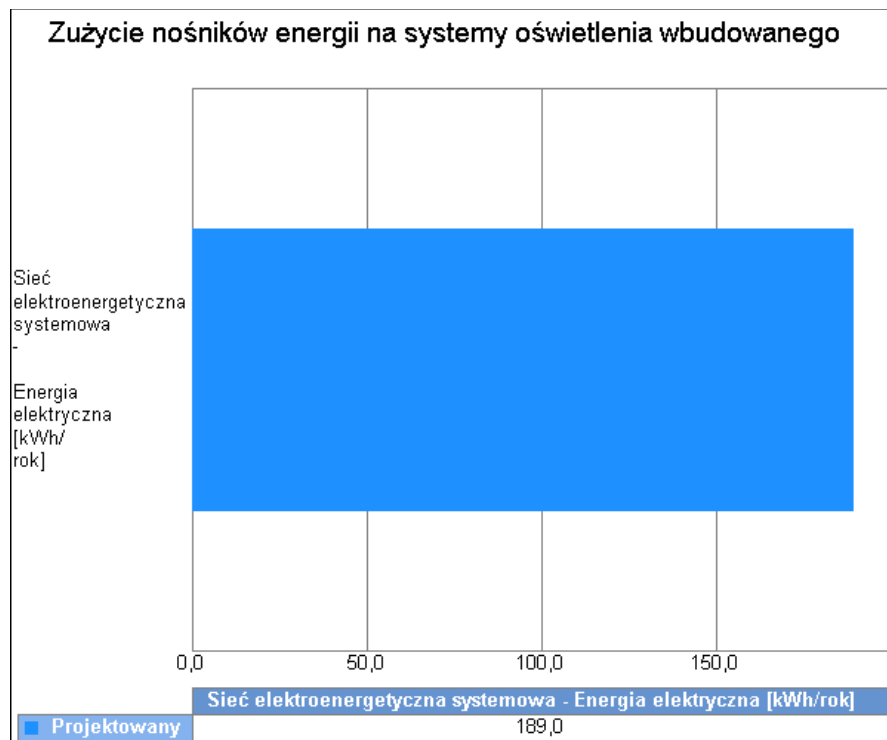
8.1. Budynek projektowany

Rodzaj paliwa	Udział %	$\eta_{L,tot}$	H_u	Jedn.	$Q_{K,L}$ [kWh/rok]	Zużycie paliwa B	Jedn.
Sieć elektroenergetyczna systemowa - Energia elektryczna	100,0	1,00	1,00	kWh/kWh	189,0	189,0	kWh/rok

8.2. Budynek z alternatywnymi źródłami

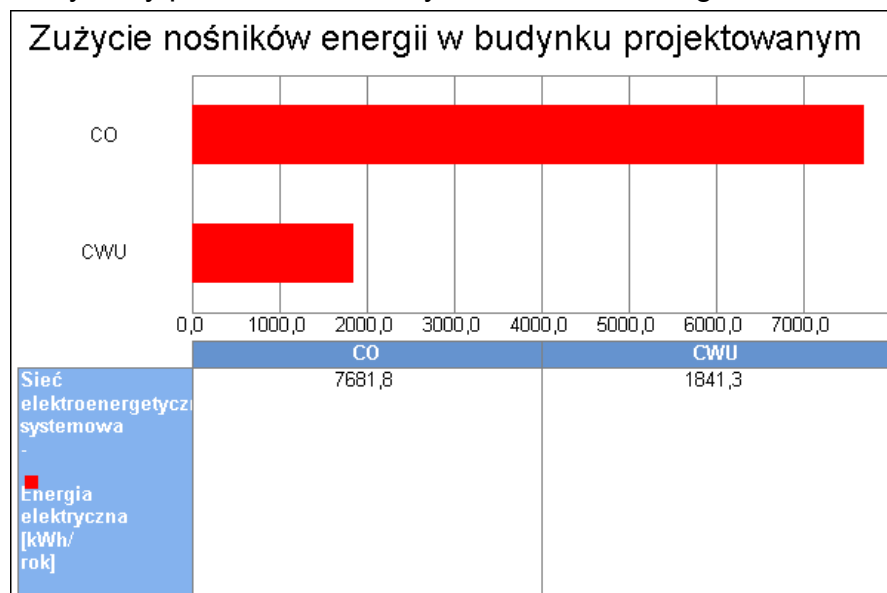
Rodzaj paliwa	Udział %	$\eta_{L,tot}$	H_u	Jedn.	$Q_{K,L}$ [kWh/rok]	Zużycie paliwa B	Jedn.
Sieć elektroenergetyczna systemowa - Energia elektryczna	100,0	1,00	1,00	kWh/kWh	0,0	0,0	kWh/rok

8.3. Porównanie zużycia nośników energii dla budynku projektowanego i źródła alternatywnego

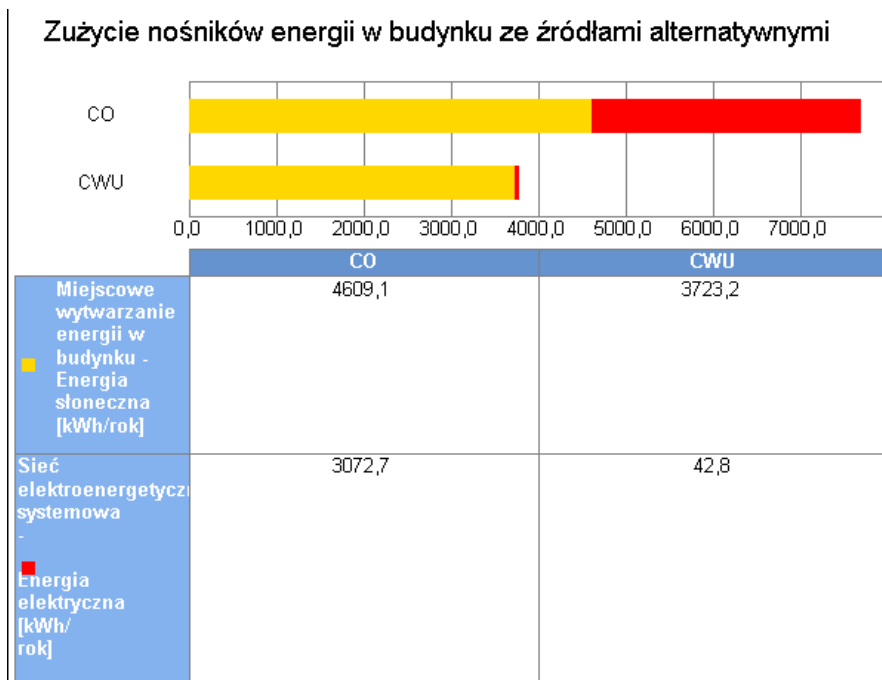


Wykres porównawczy zużycia nośników energii dla systemu oświetlenia wbudowanego

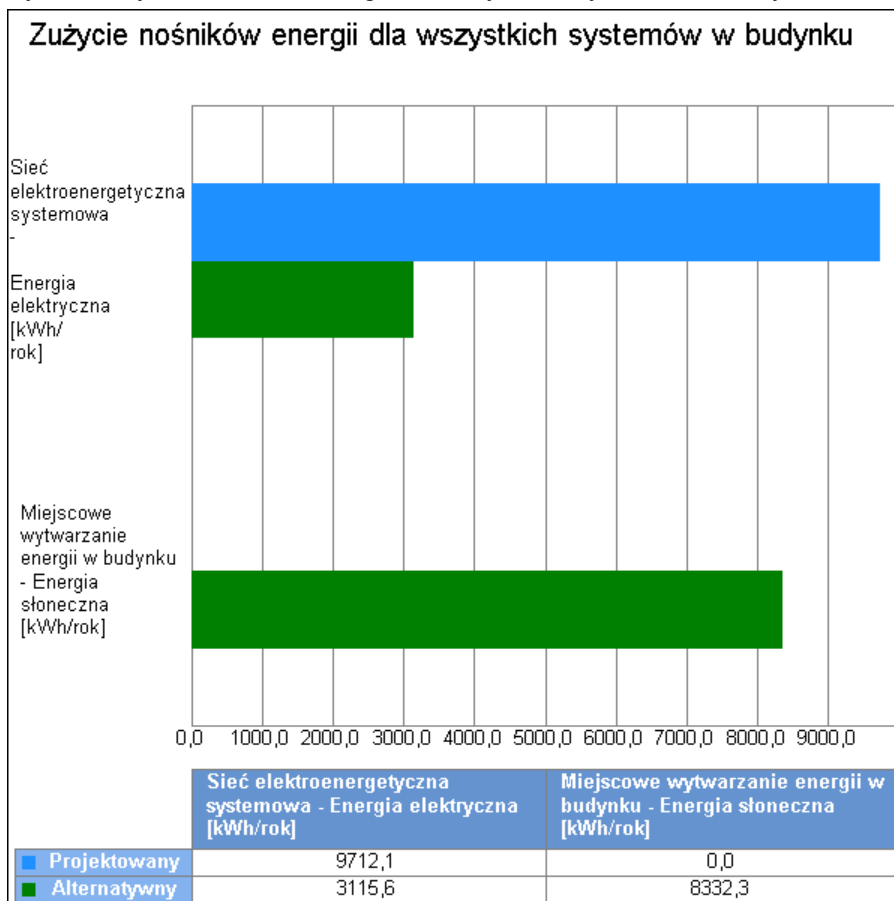
9. Wykresy porównawcze zużycia nośników energii



Wykres zużycia nośników energii dla wszystkich systemów w budynku projektowanym



Wykres zużycia nośników energii dla wszystkich systemów w budynku ze źródłami alternatywnymi



Wykres porównawczy zużycia nośników energii dla wszystkich systemów w budynku

10. Wskaźniki emisji zanieczyszczeń poszczególnych systemów i nośników energii

Informacje uzupełniające:...

10.1. Budynek projektowany

System ogrzewania i wentylacji								
Rodzaj paliwa	Jedn.	SO ₂	NO _x	CO	CO ₂	PYŁ	SADZA	B-a-P
Sieć elektroenergetyczna systemowa - Energia elektryczna	kg/kWh	0,009100	0,002300	0,000690	0,812000	0,001500	0,000003	0,000000
System przygotowania ciepłej wody								
Rodzaj paliwa	Jedn.	SO ₂	NO _x	CO	CO ₂	PYŁ	SADZA	B-a-P
Sieć elektroenergetyczna systemowa - Energia elektryczna	kg/kWh	0,009100	0,002300	0,000690	0,812000	0,001500	0,000003	0,000000

10.2. Budynek z alternatywnymi źródłami

System ogrzewania i wentylacji								
Rodzaj paliwa	Jedn.	SO ₂	NO _x	CO	CO ₂	PYŁ	SADZA	B-a-P
Miejscowe wytwarzanie energii w budynku - Energia słoneczna	kg/GJ	0,000000	0,000000	0,000000	0,000000	0,000000	0,000000	0,000000
Sieć elektroenergetyczna systemowa - Energia elektryczna	kg/kWh	0,009100	0,002300	0,000690	0,812000	0,001500	0,000003	0,000000
System przygotowania ciepłej wody								
Rodzaj paliwa	Jedn.	SO ₂	NO _x	CO	CO ₂	PYŁ	SADZA	B-a-P
Miejscowe wytwarzanie energii w budynku - Energia słoneczna	kg/GJ	0,000000	0,000000	0,000000	0,000000	0,000000	0,000000	0,000000
Sieć elektroenergetyczna systemowa - Energia elektryczna	kg/kWh	0,009100	0,002300	0,000690	0,812000	0,001500	0,000003	0,000000

11. Emisja zanieczyszczeń poszczególnych systemów w budynku

11.1. Budynek projektowany

11.2. Budynek z alternatywnymi źródłami

System	Jedn.	SO ₂	NO _x	CO	CO ₂	PYŁ	SADZA	B-a-P
System ogrzewania i wentylacji	kg/rok	27,9618	7,0673	2,1202	2495,0506	4,6091	0,0083	0,0002
System przygotowania ciepłej	kg/rok	0,3898	0,0985	0,0296	34,7861	0,0643	0,0001	0,0000

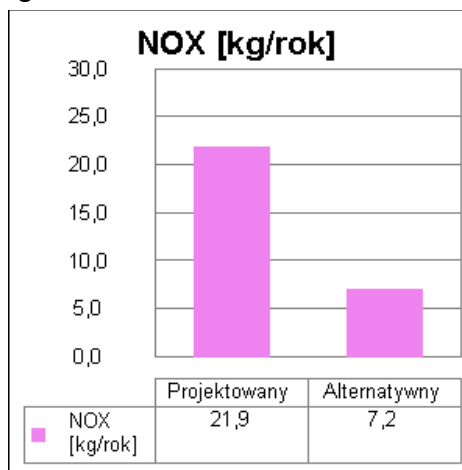
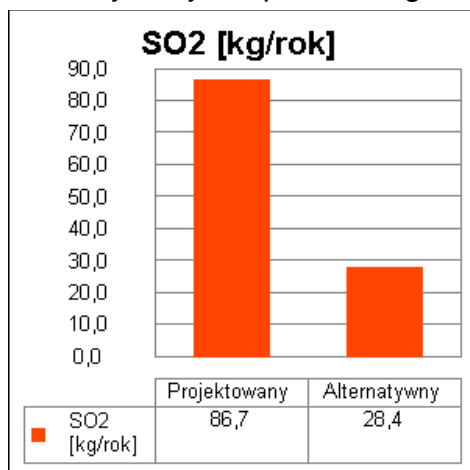
wody								
Całkowita emisja w budynku	Jedn.	SO₂	NO_x	CO	CO₂	PYŁ	SADZA	B-a-P

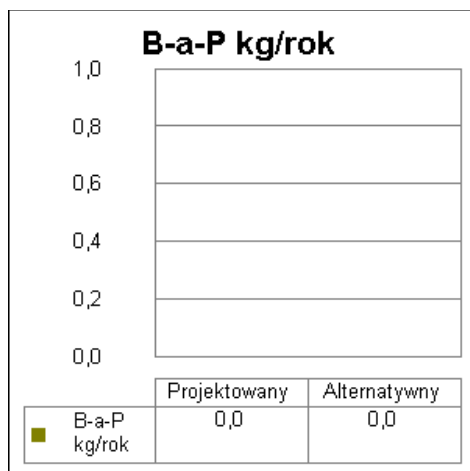
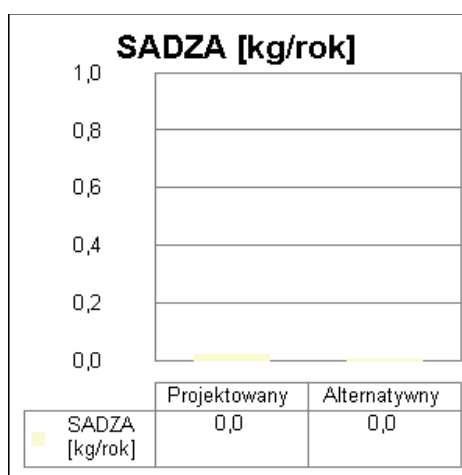
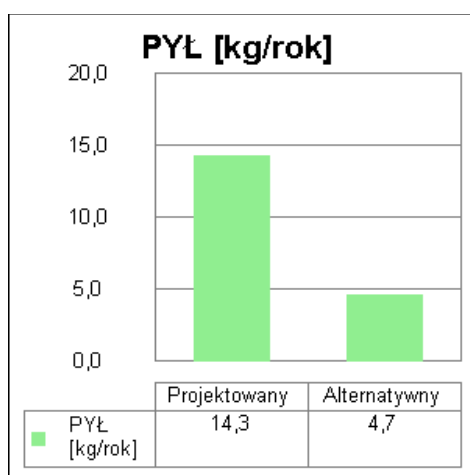
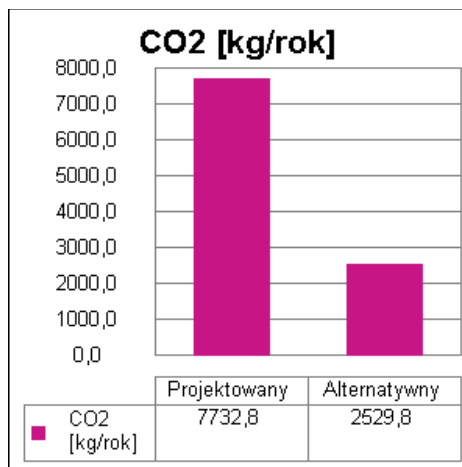
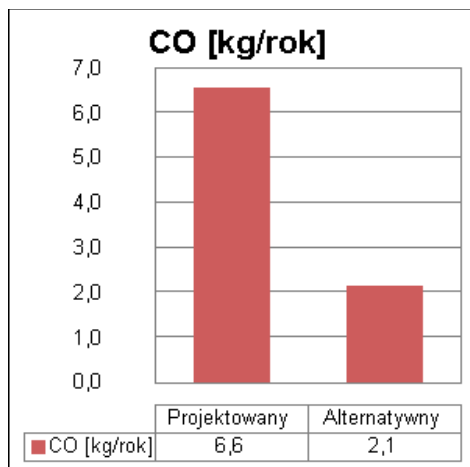
12. Bezpośredni efekt ekologiczny

12.1. Tabela bezpośredniego efektu ekologicznego

Emitowane zanieczyszczenie	Budynek projektowany [kg/rok]	Budynek z alternatywnymi źródłami [kg/rok]	Efekt ekologiczny[kg/rok]	Redukcja emisji [%]
SO ₂	86,660289	28,351618	58,308671	67,28
NO _x	21,903150	7,165794	14,737356	67,28
CO	6,570945	2,149738	4,421207	67,28
CO ₂	7732,764286	2529,836696	5202,927589	67,28
PYŁ	14,284663	4,673344	9,611319	67,28
SADZA	0,025712	0,008412	0,017300	67,28
B-a-P	0,000514	0,000168	0,000346	67,28

12.2. Wykresy bezpośredniego efektu ekologicznego





13. Wyniki analizy porównawczej i wybór systemu zaopatrzenia w energię

13.1. Obliczenia współczynników toksyczności

Wartości współczynnika toksyczności zanieczyszczeń obliczono w oparciu o Rozporządzenie Ministerstwa Środowiska z dnia 26.01.2010 r. w sprawie wartości odniesienia dla niektórych substancji w powietrzu (Dz.U. nr 87/2010 poz.16).

$$K_{SO_2} = e_{SO_2}/e_t = 20/20 \text{ mg/m}^3 = 1,00$$

$$K_{NO_x} = e_{SO_2}/e_t = 20/40 \text{ mg/m}^3 = 0,50$$

$$K_{CO} = e_{SO_2}/e_t = \text{brak wymagań}$$

$$K_{CO_2} = e_{SO_2}/e_t = \text{brak wymagań}$$

$$K_{PYŁ} = e_{SO_2}/e_t = 20/40 \text{ mg/m}^3 = 0,50$$

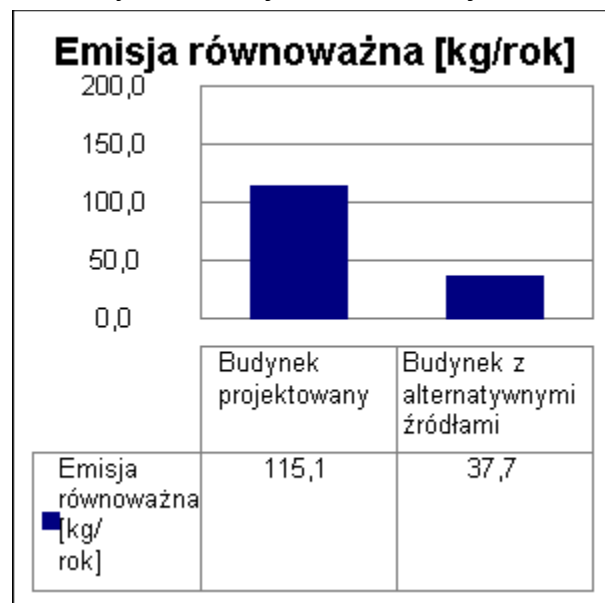
$$K_{SADZA} = e_{SO_2}/e_t = 20/8 \text{ mg/m}^3 = 2,50$$

$$K_{B-a-P} = e_{SO_2}/e_t = 20/0,001 \text{ mg/m}^3 = 20000,00$$

13.2. Tabela emisji równoważnej

Emitowane zanieczyszczenie	Współczynnik toksyczności K	Emisja - Budynek projektowany [kg/rok]	Emisja - Budynek z alternatywnymi źródłami [kg/rok]	Emisja równoważna - Budynek projektowany [kg/rok]	Emisja równoważna - Budynek z alternatywnymi źródłami [kg/rok]
SO ₂	1,00	86,660289	28,351618	86,660289	28,351618
NO _x	0,50	21,903150	7,165794	10,951575	3,582897
PYŁ	0,50	14,284663	4,673344	7,142332	2,336672
SADZA	2,50	0,025712	0,008412	0,064281	0,021030
B-a-P	20000,00	0,000514	0,000168	10,284957	3,364807
Łączna emisja równoważna				115,103434	37,657024

13.3. Wykres emisji równoważnej



13.4. Wybór systemu

Na podstawie powyższej analizy środowiskowej wariantem optymalnym jest wariant alternatywny. Efekt środowiskowy wyrażony w emisji równoważnej jest o 67,3% (77,45 kg/rok) korzystniejszym niż wariant projektowany.